



## محاسبه‌ی غنای بحرانی رآکتور کروی مدل ZPR-III با استفاده از رهیافت نمای لیاپانوف

محسن شایسته<sup>۱</sup>، سهراب بهنیا<sup>۲</sup>، اکبر عبدی سرای\*

۱. گروه فیزیک، دانشگاه امام حسین (ع)، صندوق پستی: ۱۶۵۷۵-۳۴۷، تهران - ایران

۲. گروه فیزیک، دانشگاه صنعتی ارومیه، صندوق پستی: ۴۱۹-۵۷۱۵۷، ارومیه - ایران

**چکیده:** با به کارگیری نظریه‌ی آشوب به مطالعه‌ی مرز پایداری رآکتورهای هسته‌ای پرداخته شده است. با در نظر گرفتن غنای سوخت به عنوان پارامتر کنترل و از طریق محاسبه‌ی نمای لیاپانوف، میزان غنای بحرانی که مشخص کننده‌ی مرز پایداری رآکتورهای هسته‌ای است، مورد توجه قرار گرفته است. با استفاده از نمای لیاپانوف غنای بحرانی برای رآکتور کروی مدل ZPR-III تعیین شده است.

**کلیدواژه‌ها:** غنای بحرانی، نظریه‌ی آشوب، نمای لیاپانوف، رآکتور کروی مدل ZPR-III

## Critical Enrichment Calculation of Spherical Reactor- ZPR-III Model Using Lyapunov Exponent

M. Shayesteh<sup>1</sup>, S. Behnia<sup>2</sup>, A. Abdi Saray\*

1. Department of Physics, Imam Hossein University, P.O.Box: 347-16575, Tehran - Iran

2. Department of Physics, Urmia University of Technology, P.O.Box: 419-57157, Urima - Iran

**Abstract:** By considering the chaos theory, the condition for stability of nuclear reactor is studied. By considering the enrichment fuel as a control parameter, the lyapunov exponent is used for the study of the critical condition. This study, as an example, will focus on the special type of spherical ZPR-III nuclear reactor.

**Keywords:** Critical Enrichment, Chaos Theory, Lyapunov Exponent, Spherical Reactor- ZPR-III Model

\*email: aabdisaray@yahoo.com

تاریخ دریافت مقاله: ۸۹/۱۲/۱ تاریخ پذیرش مقاله: ۹۰/۹/۳۰



نوترون می‌باشد که بیش ترین کاربرد را در محاسبات مرتبط با رآکتورهای هسته‌ای دارد. در معادله‌ی پخش بر خلاف نظریه‌ی تراپرد جهت حرکت نوترون در هر لحظه مورد توجه نمی‌باشد و توزیع نوترون‌ها با تابع شار نوترون که به طور عام تابعی از فضا و زمان و انرژی می‌باشد توصیف می‌شود و آن، چیزی جز حاصل ضرب چگالی جمعیت نوترون‌ها در سرعت آن‌ها نیست [۱۷]. معادله‌ی تراپرد نوترون یک معادله‌ی دیفرانسیلی-انتگرالی غیرخطی است که به روش تحلیلی قابل حل نمی‌باشد. لذا با استفاده از فرض‌های ساده‌کننده، می‌توان توزیع زاویه‌ای شار نوترون را در محل‌هایی که میزان جذب نوترون پایین است، با حذف متغیرهای جهتی (سمتی) از تابع چگالی نوترون و با ساده‌سازی به معادله‌ی پخش تبدیل نمود و امکان استفاده از روش‌های حل عددی برای سیستم‌های پیچیده را فراهم ساخت [۱۶].

معادله‌ی پخش نوترون یک معادله‌ی دیفرانسیلی جزی است که رفتار نوترون را در داخل رآکتور هسته‌ای توصیف می‌کند. برای حل معادله‌ی پخش که در آن شار و سطح مقطع تابع انرژی‌اند، لازم است جمعیت نوترونی به گروه‌های انرژی زیادی تقسیم شود که در آن هر گروه انرژی نوترون‌هایی را در اثر کند شدن از گروه‌های با انرژی بالاتر به دست می‌آورد و گروه‌های با انرژی بالاتر نوترون‌هایی را مستقیماً از شکافت دریافت می‌نماید. نوترون‌ها در اثر کندشدن از گروهی به گروه پایین‌تر از طریق جذب (که در بعضی موارد به شکافت هسته‌ای منجر می‌شود) و یا بر اثر نشت از قلب رآکتور، از بین می‌روند. در روش چند گروهی که در آن گستره‌ی انرژی نوترون‌های مورد بررسی معمولاً از حدود  $0.1 \text{ eV}$  تا  $10 \text{ MeV}$  گسترد است، به تعداد متناهی بازه یا گروه تقسیم می‌شود. فرض می‌شود سطح مقطع‌ها در هر گروه ثابت‌اند یعنی روی انرژی میانگین گیری شده‌اند و در هر گروه مستقل از انرژی هستند، هر چند که تابعی از مکان‌اند. معادله‌ی پخش نوترون برای گروه انرژی  $\text{g}$  می‌تواند به شکل زیر نوشته شود [۱۶ و ۱۷].

$$\frac{1}{V_g} \frac{\partial \Phi_g}{\partial t} - \vec{\nabla} \cdot D_g \vec{\nabla} \Phi + \sum_{tg} \Phi_g (\vec{r}, t) = \sum_{g'=l}^G \sum_{sg'g} \Phi_{g'} + X_g \sum_{g'=l}^G V_{g'} \sum_{fg'} \Phi_{g'} + S_g \\ g=1,2,3, \dots, G \quad (1)$$

## ۱. مقدمه

پایداری رآکتورهای هسته‌ای، یکی از بنیادی‌ترین مسائل در دینامیک رآکتورها است. در چند دهه‌ی اخیر، تحلیل پایداری رآکتورهای هسته‌ای به یکی از موضوعات جذاب و جالب توجه تبدیل شده است. در سال‌های اخیر، کدهای محاسباتی متفاوتی توسعه یافته و آزمایش‌های زیادی برای مطالعه و بررسی پایداری رآکتورهای هسته‌ای انجام شده است [۱ و ۲]. ولی تلاش چندانی برای تعیین مزهای پایداری یک سیستم مشخص، انجام نگرفته است و در تعداد کمی از مقالات به پایداری مزها اشاره شده است [۳ و ۴]. باید توجه داشت که رآکتورهای هسته‌ای و به تبع آن شکافت هسته‌ای، رفتار پیچیده‌ای با طبیعت غیرخطی دارند. بنابراین معرفی روش‌های غیرخطی در بررسی پایداری، عامل بزرگی در عملکرد این‌نوع رآکتورهای هسته‌ای و تجهیزات اساسی‌شان به حساب می‌آید [۵ و ۷]. تاکنون روش‌های جدیدی برای مطالعه سیستم‌های دینامیکی با متغیرهای میدانی پیوسته نظری رآکتورهای هسته‌ای معرفی شده است [۸ و ۹]. نگاشت‌های تزویج یافته‌ی شبکه (CML)<sup>(۱)</sup> روشی بر پایه‌ی یک سیستم دینامیکی با متغیرهای میدانی پیوسته است که در مکان و زمان گسسته‌اند [۱۰]. در این مقاله به معرفی یک مدل نگاشت تزویج یافته‌ی شبکه از معادله‌ی پخش نوترون پرداخته شده است. این مدل نقطه‌ی شروع برای محاسبه دینامیکی غیرخطی رآکتورهای هسته‌ای است. در روش شبکه‌ی نگاشت تزویج یافته، بیش‌تر فرایندهای دینامیکی معمولاً در نگاشت‌ها فرمول‌بندی می‌شوند [۱۱]. در این روش فرض بر این است که جمعیت نوترونی، با فیزیک و دینامیک خاص کنترل و بررسی می‌شود که در ادامه به آن پرداخته خواهد شد. هم‌چنین در این مقاله از طیف نمای لیپانوف<sup>(۲)</sup>، که ابزار تشخیص دینامیکی مفیدی برای رآکتورهای هسته‌ای است، استفاده شده است [۱۲ تا ۱۵].

## ۲. معادله‌ی پخش نوترون

معادله‌ی تراپرد نوترون اساسی‌ترین توصیف از توزیع انرژی، زاویه‌ای، فضایی و زمانی نوترون‌ها می‌باشد و نقطه‌ی شروع برای بررسی رفتار نوترون‌ها است [۱۶]. معادله‌ی تراپرد نوترون یکی از اجزای پایه‌ای برای توسعه و طراحی رآکتورهای هسته‌ای و هم‌چنین مدیریت سوخت می‌باشد. این معادله مبنای توسعه‌ی تئوری پخش



۱/۰ باشد، تعداد شکافتها با زمان کاهش یافته و سرانجام پس از گذشت یک فاصله زمانی معین که به طول عمر نوترون بستگی دارد، به صفر می‌رسد و اگر این ضریب بزرگ‌تر از ۱/۰ باشد، تعداد شکافت یا قدرت سیستم با زمان افزایش می‌یابد. راه‌های مختلفی برای محاسبه ضریب تکثیر مؤثر سیستم وجود دارد که روش مونت کارلو و کدهای هسته‌ای چون کد MCNP، ANISN، DOT، ... از آن جمله‌اند. در این مقاله برای اولین بار غنای بحرانی سوخت اورانیم ۲۳۵ برای یک رآکتور کروی، با استفاده از نمای لیپانوف محاسبه شده است.

### ۲.۳ نظریه‌ی آشوب<sup>(۴)</sup>

آشوب، یک رفتار طولانی مدت غیردوره‌ای در یک سیستم قطعی است که وابستگی زیاد به شرایط اولیه نشان می‌دهد. منظور از رفتار طولانی مدت غیردوره‌ای در سیستم‌های دینامیکی آن است که مسیرهایی در فضای فاز بسته وجود دارند که وقتی زمان به بیناییت میل می‌کند، این مسیر به نقاط ثابت، مدارهای دوره‌ای و یا مدارهای شبیدوره‌ای منتهی نمی‌شوند [۲۲]. قطعیت گویای آن است که سیستم دارای پارامترها یا ورودی‌های کاتورهای نیست ولی رفتار بی‌نظم این سیستم‌ها از غیرخطی بودن ناشی می‌شود. منظور از حساس بودن به شرایط اولیه در سیستم‌های دینامیکی این است که مسیرهای مجاور از هم جدا می‌شوند. در واقع این خصوصیت، تفاوت اصلی سیستم‌های دینامیکی آشوبناک با سیستم‌های دینامیکی غیرآشوبناک است و محیط عمل پدیده‌ی آشوب، سیستم‌های دینامیکی است [۲۰]. یکی از راه‌های حل ثوری آشوب، استفاده از نمای لیپانوف است.

### ۳. نمای لیپانوف

نمای لیپانوف یک ابزار بسیار قوی برای شناسایی آشوب می‌باشد که در کنترل پایداری معادلات دیفرانسیل غیرخطی نیز مورد استفاده قرار می‌گیرد. این، مطالعه‌ی پایداری معادلات دیفرانسیل را بدون حل آنها امکان‌پذیر می‌سازد [۲۳ تا ۲۶]. برای مطالعه‌ی یک سیستم دینامیکی غیرخطی لازم است آن را با استفاده نگاشتها نگاشت. نمای لیپانوف، مطالعه‌ی رفتار سیستم به وسیله‌ی نگاشت را به صورت عددی می‌سازد. در این بخش نمای لیپانوف برای معادله‌ی پخش

که در آن  $\mathcal{U}$  نشان‌دهنده‌ی گروه  $g$  ام،

$V_g$  سرعت نوترون‌های گروه  $g$ ،

$\Phi_g$  شار نوترون‌های گروه  $g$ ،

$D_g$  ضریب پخش نوترون‌های گروه  $g$ ،

$\Sigma_{tg}$  سطح مقطع کل برای نوترون‌های گروه  $g$ ،

$\Sigma_{sg}$  سطح مقطع پراکنده‌ی نوترون از گروه  $g$  به  $g$ ،

$x_g$  طیف نوترون‌های آنی گروه  $g$ ،

$U_g$  تعداد نوترون‌های آنی گروه  $g$ ،

$\Sigma_{fg}$  سطح مقطع شکافت برای نوترون‌های گروه  $g$ ،

$\Phi_g$  شار نوترون‌های گروه  $g$ ، و

$S_g$  چشمی خارجی است.

در یک سیستم هسته‌ای، معادله‌ی پخش نوترون برای به دست آوردن اطلاعات مربوط به حالت‌های ناشناخته رآکتور شبیه‌سازی می‌شود. روش نگاشت تزویج یافته‌ی شبکه سه‌بعدی به طور قابل توجهی قادر است معادله‌ی پخش نوترون را بهتر از روش‌های حل عددی و تحلیلی مثل روش مونت کارلو و روش اجزای محدود<sup>(۳)</sup> و ... حل نماید [۲۲ تا ۱۸]. این روش هم‌چنین قادر است مقدار غنای سوخت را برای یک رآکتور با بعد معین پیش‌بینی کند. در مطالعه‌ی حاضر، از شکل گسسته‌ی معادله‌ی پخش نوترون در قالب روش نگاشت تزویج یافته‌ی شبکه استفاده شده است (پیوست).

## ۳. روش کار

### ۱. ضریب تکثیر مؤثر سیستم

یکی از پارامترهای مهم هر سیستم شکافت‌پذیر، ضریب تکثیر مؤثر آن است. این ضریب که تغییر خالص تعداد نوترون‌های گرمایی از یک نسل به نسل بعد را به دست می‌دهد، به صورت زیر تعریف می‌شود

$$\text{ک}_{\text{eff}} = \frac{\text{(تعداد نوترون گرمایی در نسل i)}}{\text{(تعداد نوترون گرمایی در نسل i+1)}} \quad (2)$$

ضریب تکثیر در یک سیستم پایا بعد از چند دور که سیستم به حالت تعادلی رسید و شیوه‌ی اصلی شار غالب گردید، به مقدار ثابتی رسیده و مستقل از نسل می‌گردد [۱۷]. چنان‌چه این ضریب دقیقاً برابر ۱/۰ باشد، سیستم در یک قدرت ثابت کار می‌کند و آن را بحرانی می‌نامند. در صورتی که این ضریب کوچک‌تر از



برای نوشتمن درایه‌های این ماتریس ابتدا معادله‌ی پخش نوترون را با استفاده از روش تفاضل محدود به شکل گسته در آورده می‌شود. سپس مطابق درایه‌های ماتریس ژاکوبی، از شکل گسته‌ی معادله‌ی پخش نوترون مشتق گرفته شده و با جایگذاری در درایه‌های مربوطه دترمینان ماتریس به دست می‌آید. آن‌گاه از روی آن نمای لیپانوف به دست می‌آید. مقادیر منفی نمای لیپانوف نشان‌دهنده این است که ضریب تکثیر مؤثر سیستم کوچک‌تر از یک بوده ( $k < 1$ ) و رآکتور زیر بحرانی است. برای مقادیر مثبت نمای لیپانوف، آشوب خواهیم داشت که نشان می‌دهد سیستم، آشوبناک بوده و واکنش زنجیره‌ای شکافت واگرا شده و چگالی نوترون و آهنگ شکافت افزایش می‌یابند. در این حالت که ضریب تکثیر مؤثر سیستم بزرگ‌تر از یک می‌باشد ( $k > 1$ ) رآکتور را فوق بحرانی می‌گویند. و نهایتاً در حالت بحرانی ( $k = 1$ )، نمای لیپانوف صفر شده و واکنش زنجیره‌ای شکافت پایا می‌شود [۱۵ و ۲۸].

#### ۴. نتایج و پیشنهادات

برای نشان دادن کارآیی محاسبات غنای سوخت رآکتور با استفاده از نمای لیپانوف، یک رآکتور کروی مدل ZPR-III با تقارن سمتی و قطبی در نظر گرفته شد. برای ساده‌تر نمودن محاسبات از دو گروه انرژی استفاده شد. قطر قلب رآکتور مورد بحث، ۴۵,۶ سانتی‌متر و ضخامت پوشش اطراف قلب رآکتور (به عنوان بازتاباننده) ۳۰ سانتی‌متر می‌باشد (شکل ۱). جرم بحرانی این رآکتور ۱۳۳,۳ کیلوگرم U-۲۳۵ با غنای ۴۶,۸۰,۹۹۱ درصد می‌باشد [۲۹]. مواد به کار رفته در ساخت این رآکتور و سطح مقطع آن‌ها در جدول‌های ۱ تا ۴ و چگالی مواد در جدول ۵ داده شده است.

برای آهن و آلومینیم سطح مقطع های ماکروسکوپی جذب ناچیز و تقریباً قابل صرف نظر کردن می‌باشد ولی تأثیرشان بر روی سطح مقطع ماکروسکوپی ترابرد ( $\Sigma_{\text{trg}}$ ) در نظر گرفته شده است. مقادیر سطح مقطع ماکروسکوپی را بر حسب غنای اورانیم می‌توان به شکل زیر حساب نمود [۱۳]

$$\begin{aligned} \Sigma_i &= \Sigma_i(235) + \Sigma_i(238) = N(235)\sigma_i(235) + N(238)\sigma_i(238) \\ &= \frac{\tilde{e}_a \rho N_A}{M(235)} \sigma_i(235) + \frac{(1 - \tilde{e}_a)}{M(238)} \sigma_i(238) \end{aligned} \quad (6)$$

نوترون به دست آورده می‌شود. به منظور بررسی ویژگی‌های نمای لیپانوف، ماتریس ژاکوبی زیر معرفی می‌شود که پایداری خطی و بی‌نظمی متغیرهای میدانی سیستم را نشان می‌دهد [۲۶ و ۲۷]. در ضمن برای مسئله‌ی مورد بحث، این ماتریس (به خاطر استفاده از دو گروه انرژی) از ۴ قسمت تشکیل شده است که بدین ترتیب، تأثیر نوترون‌های هر گروه بر خودش و تأثیر نوترون‌های یک گروه بر گروه دیگر را نیز نشان می‌دهد.

$$B_{n,N} = \begin{pmatrix} \frac{\partial \Phi_1^{n+1}}{\partial \Phi_1^n} & \frac{\partial \Phi_1^{n+1}}{\partial \Phi_2^n} & \dots & \frac{\partial \Phi_1^{n+1}}{\partial \Phi_N^n} & \frac{\partial \Phi_1^{n+1}}{\partial \Psi_1^n} & \dots & \frac{\partial \Phi_1^{n+1}}{\partial \Psi_N^n} \\ \frac{\partial \Phi_2^{n+1}}{\partial \Phi_1^n} & \frac{\partial \Phi_2^{n+1}}{\partial \Phi_2^n} & \dots & \frac{\partial \Phi_2^{n+1}}{\partial \Phi_N^n} & \frac{\partial \Phi_2^{n+1}}{\partial \Psi_1^n} & \dots & \frac{\partial \Phi_2^{n+1}}{\partial \Psi_N^n} \\ \vdots & \vdots & \ddots & \vdots & \vdots & \ddots & \vdots \\ \frac{\partial \Phi_N^{n+1}}{\partial \Phi_1^n} & \frac{\partial \Phi_N^{n+1}}{\partial \Phi_2^n} & \dots & \frac{\partial \Phi_N^{n+1}}{\partial \Phi_N^n} & \frac{\partial \Phi_N^{n+1}}{\partial \Psi_1^n} & \dots & \frac{\partial \Phi_N^{n+1}}{\partial \Psi_N^n} \\ \frac{\partial \Psi_1^{n+1}}{\partial \Phi_1^n} & \frac{\partial \Psi_1^{n+1}}{\partial \Phi_2^n} & \dots & \frac{\partial \Psi_1^{n+1}}{\partial \Phi_N^n} & \frac{\partial \Psi_1^{n+1}}{\partial \Psi_1^n} & \dots & \frac{\partial \Psi_1^{n+1}}{\partial \Psi_N^n} \\ \frac{\partial \Psi_2^{n+1}}{\partial \Phi_1^n} & \frac{\partial \Psi_2^{n+1}}{\partial \Phi_2^n} & \dots & \frac{\partial \Psi_2^{n+1}}{\partial \Phi_N^n} & \frac{\partial \Psi_2^{n+1}}{\partial \Psi_1^n} & \dots & \frac{\partial \Psi_2^{n+1}}{\partial \Psi_N^n} \\ \vdots & \vdots & \ddots & \vdots & \vdots & \ddots & \vdots \\ \frac{\partial \Psi_{N-1}^{n+1}}{\partial \Phi_1^n} & \frac{\partial \Psi_{N-1}^{n+1}}{\partial \Phi_2^n} & \dots & \frac{\partial \Psi_{N-1}^{n+1}}{\partial \Phi_N^n} & \frac{\partial \Psi_{N-1}^{n+1}}{\partial \Psi_1^n} & \dots & \frac{\partial \Psi_{N-1}^{n+1}}{\partial \Psi_N^n} \\ \frac{\partial \Psi_N^{n+1}}{\partial \Phi_1^n} & \frac{\partial \Psi_N^{n+1}}{\partial \Phi_2^n} & \dots & \frac{\partial \Psi_N^{n+1}}{\partial \Phi_N^n} & \frac{\partial \Psi_N^{n+1}}{\partial \Psi_1^n} & \dots & \frac{\partial \Psi_N^{n+1}}{\partial \Psi_N^n} \end{pmatrix} \quad (3)$$

که در آن  $\Phi_i^n$  و  $\Psi_i^n$  پارامترهای دینامیکی قابل مشاهده، با  $n$  به عنوان گام زمانی و  $i$  به عنوان مکان فضایی می‌باشند. در واقع دو گروه انرژی ( $\Phi$  و  $\Psi$  نشان‌دهنده شار نوترون‌های مربوط به گروه ۱ و ۲ می‌باشند) وجود دارد. ویژه مقدارهای ماتریس ژاکوبین  $B_{n,N}$  که با  $\{E_1^n, E_2^n, E_3^n, \dots, E_N^n\}$  نشان داده می‌شوند، نمایانه لیپانوف می‌باشند. با متوسط‌گیری از این نمایانه، متوسط نمای لیپانوف از رابطه‌ی

$$\lambda^n = \frac{1}{N} \sum_{i=1}^N \ln |E_i^n| \quad (i=1,2,3,\dots,N) \quad (4)$$

و یا از رابطه‌ی زیر به دست می‌آید [۱۹]

$$\lambda^n = \frac{1}{N} \sum_{i=1}^N \ln |B_{n,N}| \quad (5)$$

که در آن  $|B_{n,N}|$  دترمینان ماتریس  $B_{n,N}$  است. از هر دو رابطه جواب یکسان به دست می‌آید [۲۶، ۲۵ و ۲۷].

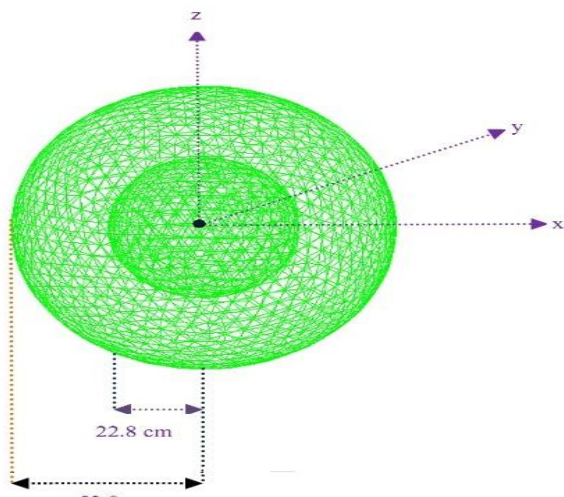


#### جدول ۴. داده‌های مربوط به دو گروه انرژی در دو ناحیه از رآکتور

| سطح مقطع ( $\text{cm}^{-1}$ ) | قلب      | پوشش قلب |
|-------------------------------|----------|----------|
| $\Sigma_{f1}$                 | ۰,۰۱۲۶۹  | ۰,۰۲۰۹۹  |
| $\Sigma_{a1}$                 | ۰,۰۱۳۶۹  | ۰,۰۲۲۴۶  |
| $\Sigma_{tr1}$                | ۰,۱۰۳    | ۰,۱۹۱    |
| $\Sigma_{s12}$                | ۰,۰۴۰۲۳  | ۰,۰۸۶۹۵  |
| $\Sigma_{f2}$                 | ۰,۰۰۹۶۸۸ | ۰        |
| $\Sigma_{a2}$                 | ۰,۰۱۳۱۲  | ۰,۰۰۷۶۴۹ |
| $\Sigma_{tr2}$                | ۰,۱۹۸۱   | ۰,۳۰۶۵   |

#### جدول ۵. چگالی اتمی ( $\text{cm}^{-3}$ ) مواد به کار رفته در رآکتور

| ماده      | قلب                       | پوشش                      |
|-----------|---------------------------|---------------------------|
| $N_{235}$ | $۰,۰۰۶۷۲۸ \times ۱۰^{۲۴}$ | ۰                         |
| $N_{238}$ | $۰,۰۰۷۶۴۵ \times ۱۰^{۲۴}$ | $۰,۰۴۰۰۵ \times ۱۰^{۲۴}$  |
| $N_{Al}$  | $۰,۰۱۸۹۱ \times ۱۰^{۲۴}$  | $۰,۰۰۱۳۶۷ \times ۱۰^{۲۴}$ |
| $N_{Fe}$  | $۰,۰۱۴۹ \times ۱۰^{۲۴}$   | $۰,۰۰۶۱۸۸ \times ۱۰^{۲۴}$ |



شکل ۱. مش‌بندی رآکتور کروی مدل ZPR-III

#### جدول ۱. مواد به کار رفته در قلب و پوشش رآکتور با چگالی و کسر حجمی اشغال شده

| ماده        | چگالی (گرم بر سانتی‌متر مکعب) | کسر حجمی اشغال شده |        |
|-------------|-------------------------------|--------------------|--------|
|             |                               | قلب                | پوشش   |
| اورانیم ۲۳۵ | ۱۸,۷۵                         | ۰,۱۴۰              | ۰,۰۰۱۹ |
| اورانیم ۲۳۸ | ۱۹                            | ۰,۱۵۹              | ۰,۸۳۳  |
| آلومینیم    | ۲,۷۰                          | ۰,۳۱۴              | ۰,۰۲۲۷ |
| آهن         | ۷,۸۵                          | ۰,۱۲۳              | ۰,۰۷۳۱ |

#### جدول ۲. سطح مقطع‌های ماکروسکوپی مربوط به ناحیه‌ی قلب رآکتور

| قلب رآکتور                    |             |             |            |            |
|-------------------------------|-------------|-------------|------------|------------|
| سطح مقطع ( $\text{cm}^{-1}$ ) | اورانیم ۲۳۵ | اورانیم ۲۳۸ | آلومینیم   | آهن        |
| $\Sigma_{f1}$                 | $۰,۰۰۸۶۷۹$  | $۰,۰۰۴۰۰۶$  | ۰          | ۰          |
| $\Sigma_{a1}$                 | $۰,۰۰۹۲۱۷$  | $۰,۰۰۴۲۸۱$  | $۰,۰۰۰۰۷۶$ | $۰,۰۰۰۰۵۲$ |
| $\Sigma_{tr1}$                | $۰,۰۰۳۰۲۸$  | $۰,۰۳۵۱۷$   | $۰,۰۳۴۰۴$  | $۰,۰۲۰۸۲$  |
| $\Sigma_{s12}$                | $۰,۰۱۰۰۹$   | $۰,۰۱۵۶۷$   | $۰,۰۰۷۱۸$  | $۰,۰۰۷۲۹$  |
| $\Sigma_{f2}$                 | $۰,۰۰۹۶۸۸$  | ۰           | ۰          | ۰          |
| $\Sigma_{a2}$                 | $۰,۰۱۱۵۷$   | $۰,۰۰۱۴۵$   | $۰,۰۰۰۰۴$  | $۰,۰۰۰۰۶$  |
| $\Sigma_{tr2}$                | $۰,۰۰۴۸۴۴$  | $۰,۰۵۴۲۸$   | $۰,۰۶۱۹$   | $۰,۰۲۹۱۵$  |

#### جدول ۳. سطح مقطع‌های ماکروسکوپی مربوط به ناحیه‌ی پوشش قلب رآکتور

| پوشش رآکتور                   |             |             |           |            |
|-------------------------------|-------------|-------------|-----------|------------|
| سطح مقطع ( $\text{cm}^{-1}$ ) | اورانیم ۲۳۵ | اورانیم ۲۳۸ | آلومینیم  | آهن        |
| $\Sigma_{f1}$                 | ۰           | $۰,۰۲۰۹۹$   | ۰         | ۰          |
| $\Sigma_{a1}$                 | ۰           | $۰,۰۲۲۴۳$   | ۰         | $۰,۰۰۰۰۳$  |
| $\Sigma_{tr1}$                | ۰           | $۰,۱۸۴۲$    | $۰,۰۰۲۵$  | $۰,۰۱۲۴$   |
| $\Sigma_{s12}$                | ۰           | $۰,۰۸۲۱۰$   | $۰,۰۰۰۵۲$ | $۰,۰۰۴۳۳$  |
| $\Sigma_{f2}$                 | ۰           | ۰           | ۰         | ۰          |
| $\Sigma_{a2}$                 | ۰           | $۰,۰۰۷۶۰۹$  | $۰,۰۰۰۰۳$ | $۰,۰۰۰۰۳۷$ |
| $\Sigma_{tr2}$                | ۰           | $۰,۲۸۴۴$    | $۰,۰۰۴۸$  | $۰,۰۱۷۳$   |

وقتی غنای اورانیم تغییر می‌کند به ازای هر مقدار از آن، یک ماتریس ژاکوبی به دست می‌آید. با حل این ماتریس و یافتن ویژه مقدارهای آن و سپس با استفاده از رابطه‌ی (۴) یا رابطه‌ی (۵) یک میانگین برای این ویژه مقدارها به دست می‌آید که یک نقطه از شکل ۲ را تشکیل می‌دهد، به همین ترتیب برای مقادیر دیگر غنا، این روند ادامه می‌یابد. در شکل ۲ مشاهده می‌شود که به ازای غنایی برابر با  $۴۶,۸۱$  درصد،  $\lambda$  (نمای لیپانوف) برابر صفر و رآکتور بحرانی می‌شود. مقداری که از حل تحلیلی معادله‌ی پخش با دو گروه انرژی به دست می‌آید برابر  $۴۶,۸۰,۹۹۱$  درصد است که نشان‌دهنده‌ی توافق خوب آن با حل تحلیلی می‌باشد [۲۹]. هم‌چنین شار دو گروه نوترونی (شکل ۳) و شار نوترونی کل (شکل ۴)، بر حسب ابعاد رآکتور به دست آمده است. لازم به ذکر است که رآکتور فوق نسبت به زاویه‌ی سمتی و قطبی متقاضی بوده و فقط تابع شعاع می‌باشد. هم‌چنین طول عمر متوسط نوترون بر حسب غنای اورانیم ۲۳۵ در شکل ۵ نشان داده شده است.



نتایج به دست آمده حاکی از آن است که نمای لیپانوف شاخص رفتار قلب رآکتور است. غنای بحرانی سوخت راکتور، که با استفاده از نمای لیپانوف به دست آمده است دقیقاً برابر با مقداری است که از حل تحلیلی حاصل شده است. یعنی زمانی که، نمای لیپانوف برابر با صفر ( $\lambda=0$ ) شود ضریب تکثیر مؤثر سیستم برابر ۱ می‌باشد که در این حالت رآکتور بحرانی و غنای سوخت غنای بحرانی است. با استفاده از این رهیافت می‌توان مقدار غنای بحرانی سوخت برای انواع رآکتورهای هسته‌ای را محاسبه کرد.

#### پیوست:

معادله‌ی پخش نوترون، معادله‌ی (۱)، را با دو گروه انرژی و برای دو ناحیه از رآکتور کروی مدل ZPR-III را با فرض این که محیط همگن و یکنواخت باشد حل می‌کنیم. شاخص‌های ۱ و ۲ معرف گروه‌های نوترون می‌باشند در این صورت داریم  
قلب رآکتور:

$$\frac{1}{V_1} \frac{\partial \Phi}{\partial t} - D_1 \nabla^2 \Phi + \sum_{a1} \Phi + \sum_{s12} \Phi - \chi_1 v_1 \sum_{f1} \Phi - \chi_1 v_2 \sum_{f2} \Psi = 0 \quad (V)$$

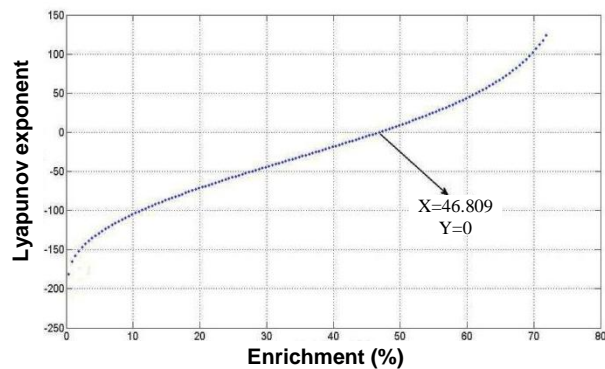
$$\frac{1}{V_2} \frac{\partial \Psi}{\partial t} - D_2 \nabla^2 \Psi + \sum_{a2} \Psi - \sum_{s12} \Phi - \chi_2 v_1 \sum_{f1} \Phi - \chi_2 v_2 \sum_{f2} \Psi = 0 \quad (A)$$

پوشش (قلب) رآکتور (شاخص b):

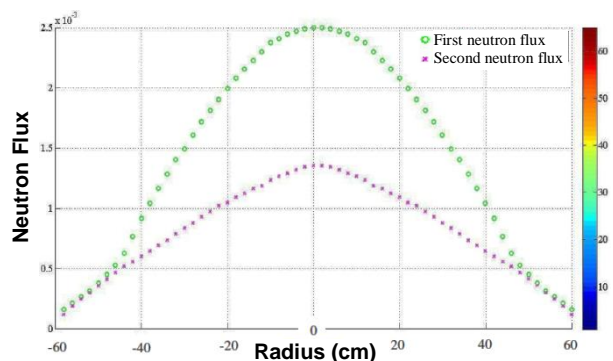
$$\frac{1}{V_1} \frac{\partial \Phi_b}{\partial t} - D_{1b} \nabla^2 \Phi_b + \sum_{a1b} \Phi_b + \sum_{s12b} \Phi_b - \chi_1 v_{1b} \sum_{f1b} \Phi_b = 0 \quad (9)$$

$$\frac{1}{V_2} \frac{\partial \Psi_b}{\partial t} - D_{2b} \nabla^2 \Psi_b + \sum_{a2b} \Psi_b - \sum_{s12} \Phi - \chi_2 v_{1b} \sum_{f1b} \Phi_b = 0 \quad (10)$$

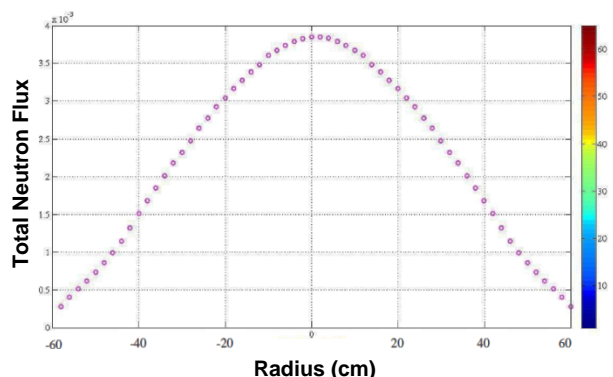
در واقع، گسته‌سازی معادله‌ی پخش نوترون را از طریق روش تفاضل محدود و با استفاده از مدل هفت نقطه‌ای انجام می‌دهیم (شکل ۶).



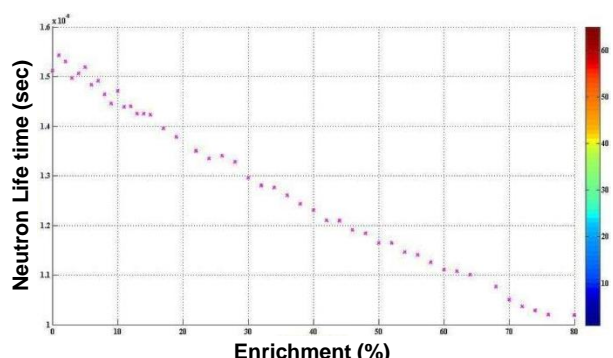
شکل ۲. رابطه بین نمای لیپانوف و غنای سوخت (اورانیم ۲۳۵).



شکل ۳. شار نوترونی گروه‌های ۱ و ۲ بر حسب فاصله از مرکز رآکتور.



شکل ۴. شار نوترونی کل بر حسب فاصله از مرکز رآکتور.



شکل ۵. رابطه بین طول عمر متوسط نوترون و غنای سوخت (اورانیم ۲۳۵).



و به همین ترتیب برای معادله‌ی (۸) داریم

$$\begin{aligned} \Psi_{i,j,k}^{n+1} = & \frac{D_2 V_2 \Delta t}{(\Delta x)^2} (\Psi_{i+1,j,k}^n + \Psi_{i-1,j,k}^n) + \frac{D_2 V_2 \Delta t}{(\Delta y)^2} (\Psi_{i,j+1,k}^n + \Psi_{i,j-1,k}^n) + \\ & \frac{D_2 V_2 \Delta t}{(\Delta z)^2} (\Psi_{i,j,k+1}^n + \Psi_{i,j,k-1}^n) + \\ & (1 + V_2 \Delta t \beta) \Psi_{i,j,k}^n + V_1 \Delta t (\Sigma_{sl2} + x_2 v_1 \Sigma_{f1}) \Phi_{i,j,k}^n = 0 \end{aligned} \quad (14)$$

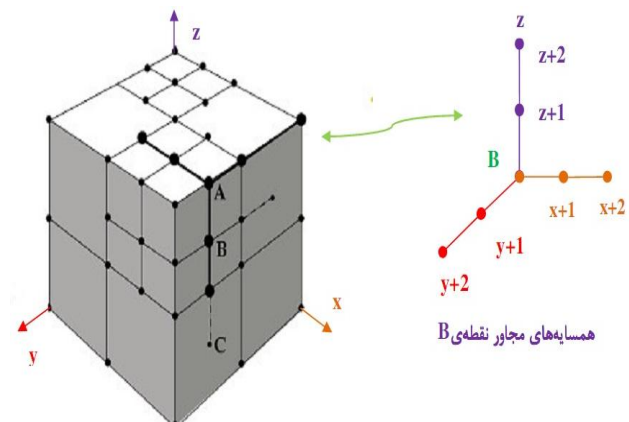
که در آن پارامتر  $\beta$  برابر است با

$$\beta = (\Sigma_{al} - x_2 v_2 \Sigma_{f2}) - 2D_2 \left( \frac{1}{(\Delta x)^2} + \frac{1}{(\Delta y)^2} + \frac{1}{(\Delta z)^2} \right) \quad (15)$$

معادلات پوشش قلب رآکتور (بازتابانده) یعنی معادلات (۹) و (۱۰) نیز به همین ترتیب به شکل گسسته درمی‌آیند.

### پی‌نوشت‌ها:

۱. CML: Coupled Map Lattices
۲. Lyapunov Exponent Spectra
۳. Finite Element Method
۴. Chaos Theory



شکل ۶. مدل هفت نقطه‌ای.

به عنوان نمونه فقط معادله‌های (۷) و (۸) یعنی معادله‌ی حاکم بر قلب رآکتور را با روش تفاضل محدود و با استفاده از مدل هفت نقطه‌ای گسسته نموده و برای یافتن درایه‌های ماتریس ژاکوبی آمده می‌نماییم [۱۴]

$$\begin{aligned} \frac{1}{V_1} \left( \frac{\Phi_{i,j,k}^{n+1} - \Phi_{i,j,k}^n}{\Delta t} \right) - D_1 \left( \frac{\Phi_{i+1,j,k}^n - 2\Phi_{i,j,k}^n + \Phi_{i-1,j,k}^n}{(\Delta x)^2} + \right. \\ \left. \frac{\Phi_{i,j+1,k}^n - 2\Phi_{i,j,k}^n + \Phi_{i,j-1,k}^n}{(\Delta y)^2} + \frac{\Phi_{i,j,k+1}^n - 2\Phi_{i,j,k}^n + \Phi_{i,j,k-1}^n}{(\Delta z)^2} \right) + \\ (\Sigma_{al} + \Sigma_{sl2} - x_1 v_1 \Sigma_{f1}) \Phi_{i,j,k}^n - x_1 v_2 \Sigma_{f2} \Psi_{i,j,k}^n = 0 \end{aligned} \quad (11)$$

در نتیجه داریم:

$$\begin{aligned} \Phi_{i,j,k}^{n+1} = & \frac{D_1 V_1 \Delta t}{(\Delta x)^2} (\Phi_{i+1,j,k}^n + \Phi_{i-1,j,k}^n) + \\ & \frac{D_1 V_1 \Delta t}{(\Delta y)^2} (\Phi_{i,j+1,k}^n + \Phi_{i,j-1,k}^n) + \frac{D_1 V_1 \Delta t}{(\Delta z)^2} (\Phi_{i,j,k+1}^n + \Phi_{i,j,k-1}^n) + \\ & (1 + V_1 \Delta t \alpha) \Phi_{i,j,k}^n + V_1 \Delta t x_1 v_2 \Sigma_{f2} \Psi_{i,j,k}^n = 0 \end{aligned} \quad (12)$$

که در آن پارامتر  $\alpha$  برابر است با

$$\alpha = (\Sigma_{al} + \Sigma_{sl2} + x_1 v_1 \Sigma_{f1}) - 2D_1 \left( \frac{1}{(\Delta x)^2} + \frac{1}{(\Delta y)^2} + \frac{1}{(\Delta z)^2} \right) \quad (13)$$



## References:

1. G.V. Durga Prasad, Manmohan Pandey, "Stability analysis and nonlinear of natural circulation boiling water reactors," Nuclear Engineering and Design 238, 229 (2008).
2. J. Morales-Sandoval, A. Hernandez-Solis, "Global physical and numerical stability of a nuclear reactor core," Ann.Nucl. Energy 321, 666 (2005).
3. Pankaj Wahi, Vivek Kumawat, "Nonlinear stability analysis of a reduced order model of nuclear reactors: A parametric study relevant to the advanced heavy water point reactor," Nuclear Engineering and Design 241, 134 (2011).
4. J.D. Lewins, E.N. Ngcobo, "Property discontinuities in the solution of finite difference approximations to the neutron diffusion equation," Ann. Nucl. Energy 23, 29 (1996).
5. J. Koclas, "Comparisons of the different approximations leading to mesh centered finite differences starting from the analytic nodal method," Ann. Nucl. Energy 25, 821 (1998).
6. S. Cavdar, H.A. Ozgener, "A finite element/boundary element hybrid method for 2-D neutron diffusion calculations," Ann. Nucl. Energy 31, 1555 (2004).
7. S.T. Liu, "Nuclear fission and spatial chaos," Chaos, Solitons & Fractals 30, 462 (2006).
8. R. Uddin, "Turning points and sub- and supercritical bifurcations in a simple BWR model," Nucl. Eng. and Design 236, 267 (2006).
9. H. Konno, S. Kanemoto, Y. Takeuchi, "Theory of stochastic bifurcation in BWRS and applications," Progress in Nucl. Energy 43, 201 (2003).
10. K. Kaneko, "Clustering, coding, switching, hierarchical ordering, and control in a network of chaotic elements," Phys. D: Nonlinear Phenomena. 41, 137 (1990).
11. K. Kaneko, "Chaotic traveling waves in a coupled map lattice," Phys. D: Nonlinear Phenomena. 68, 299 (1993).
12. T. Suzudo, "Application of nonlinear dynamical descriptor to BWR stability analysis," Progress in Nucl. Energy 43, 217 (2003).
13. Hiroshi Shibata, "Fluctuation of mean Lyapunov exponent for a coupled map lattice model," Physica A 284, 124 (2000).
14. K.M. Case, P.M. Zweifel, "Linear transport theory," Addison-wesley, Massachusetts, (1967).
15. R. khoda-bakhsh, S. Behnia, O. Jahanbkhsh, "A novel lyapunov exponent approach for stability analysis of the simple nuclear reactor," Iranian Physical Journal, 3-1, 36-41 (2009).
16. J.J. Duderstat, L.J. Hamilton, "Nuclear Reactor Anaysis," Wiley, New York, (1976).
17. G.I. Bell, S. Glasstone, "Nuclear reactor theory," Van Nostrand Reinhold Company, New York (1970).
18. German G. Theler, Fabian J. Bonetto, "On the stability of the point reactor kinetics equations," Nuclear Engineering and Design 240, 1443 (2010).
19. L.G. Vul'kov, A.A. Samarskii, P.N. Vabishchevich, "Finite difference methods: theory and applications," Nova Science Publishers, Samarskii (1999).
20. Kazuo Azekura and Kunitoshi Kurihara, "High-order finite difference nodal method for neutron diffusion equation," Nuclear Scince and Technology, 28, 285 (1991).
21. S.T. Strogatz, "Nonlinear dynamics and chaos," Perseus Books Publishing, L.L.C. (1994).
22. E. Ott, "Chaos in dynamical systems," Cambridge University Press (1993).
23. M.A. Jafarizadeh, S. Behnia, M. Foroutan, "Hierarchy of piecewise non-linear maps with non-ergodic behaviour," J. Phys. A: Math, Gen. 37, 9403 (2004).



- 24.M.M.R. Williams, “A method for solving a stochastic eigenvalue problem applied to criticality,” *Ann. Nucl. Energy* 37, 894 (2010).
- 25.B.L. Kirk, “Overviw of Monte Carlo radiation transport codes,” *Radiation Measurements* 45, 1318 (2010).
- 26.S. Behnia, M. Panahi, A. Mobaraki, A. Akhshani, “A novel approach for the potential parameters selection of Peyrard-Bishop model,” *Physics Letters A* 375, 1092 (2011).
- 27.H. Shibata, “Fluctuation of mean Lyapunov exponent for turbulence,” *Physica A* 292, 175 (2001).
- 28.R. Khoda-Bakhsh, S. Behnia, O. Jahanbkhsh, “Stability analysis in nuclear reactor using Lyapunov exponent,” *Ann. Nucl. Energy* 35, 1370 (2008).
- 29.J.L. Meem, “Two group reactor theory,” Gordon and Breach Science Publishers. New York (1964).